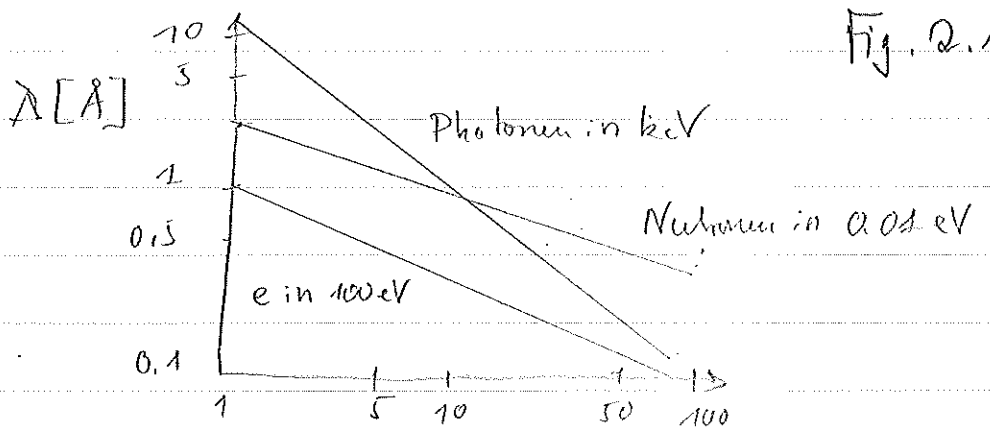


2.2 Struktur bestimmung

2-5

Detaillierte Kenntnisse über Kristallstruktur erhält man durch Beugungs- od. Streuexperimente mit Röntgenstrahlen (Photonen), Neutronen oder Elektronen, wobei die Wellenlänge des Strahls vergleichbar mit der Gitterkonstante sein sollte.



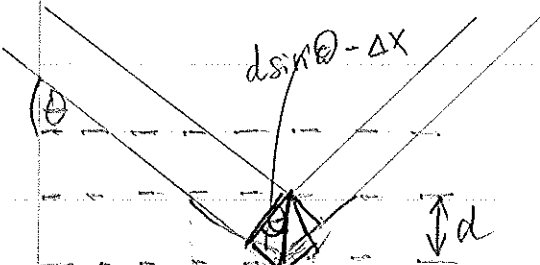
Röntgenbeugung durch Kristalle wurde 1912 durch M.v. Laue entdeckt und auch beschrieben. Für den Nachweis, daß es sich bei Röntgenstrahl. um sehr kurzwelliges Licht handelt erhielt Laue 1914 den Nobelpries.

a.) Bragg-Theorie Fig 2.12

William Henry Bragg, 1862-1942
William Lawrence Bragg, 1890-1971

Eine einfache und für die Strukturanalyse eingängigere Erklärung lieferte W.L. Bragg zusammen mit seinem Vater W.H. Bragg (Nobelpries 1915):

Beobachtete Beugungsmaxima entstehen durch Interferenz der an den Gitterebenen (Netzebenen) des Kristalls gestreuten Strhl.

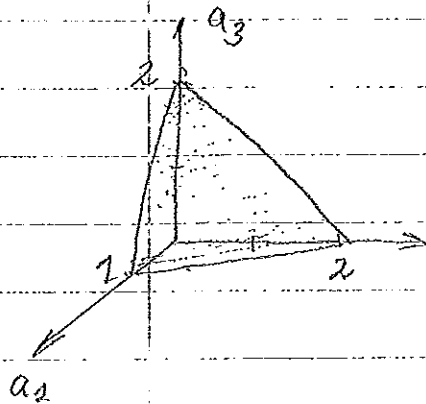


Interferenzmaxima:

$$2d \sin \theta = m\lambda \quad (\text{Bei } \lambda < 2d)$$

Bragg-Theorie: → Bestimmy des Netzebenen-Abstandes
→ aus Vermessy weiter Netzebenenabstand ⇒ Gitter-Typ.

b) Netzebenen in Kristallen und Miller-Indizes



3 nicht auf einer Gruppe liegende Flächen
spannen eine Ebene auf:

- Translatoren:
 1) definiert durch Schnittfläche mit Basisrichtungen.
 Achsenabschnitte in Einheiten des Basisvektors:
 $(n_1, n_2, n_3) = (1, 2, 2)$

Fig 2.13

2) Man bildet die reziproken Werte

$$h' = \frac{1}{n_1}, k' = \frac{1}{n_2}, l' = \frac{1}{n_3} \rightarrow h' k' l' = \left(1 \frac{1}{2} \frac{1}{2}\right)$$

3) Multiplikation mit ganzer Zahl p.

\rightarrow Tripel teilerfremder Zahlen:

$$p \cdot (h', k', l') = (h, k, l) \rightarrow (h k l) / (2 k l)$$

Bem.: 1) Neg. Achsenabschnitte \rightarrow h

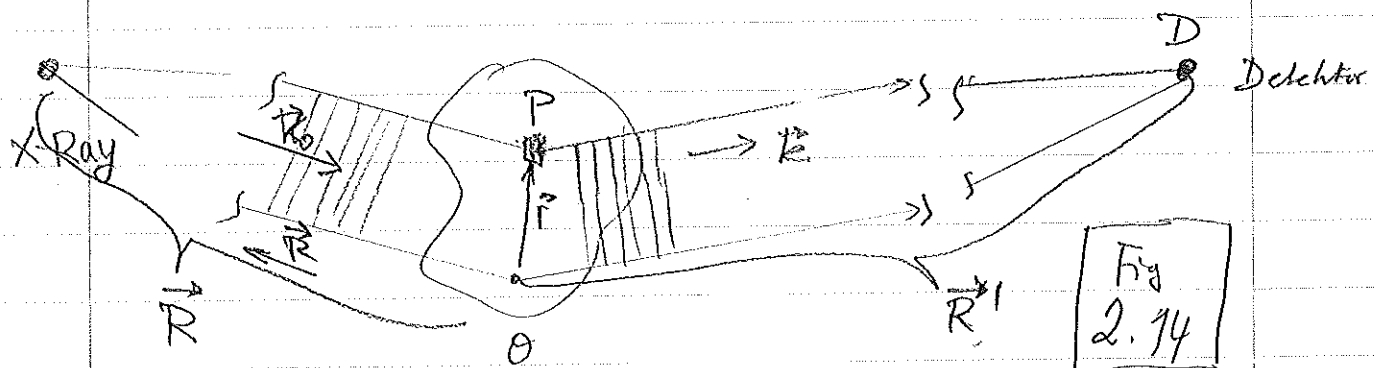
2)

Netzebenenabstand der Schar $(h k l)$ in kubischen Gittern:

$$\text{abstand} = \frac{a}{\sqrt{h^2 + k^2 + l^2}}$$

(nichtkubische Gitter)

c.) Allgemeine Streutheorie (nach Max. v. Laue)



(1) Bei genug großem Abstand zw. Röntgenquelle und reell Probe kann die einfallende Welle als ebene Welle betrachtet werden

(2) Elektrofeld des Röntgenstrahls versetzt Elektronen der Masse m Schwingig \rightarrow Elektronen im Strahl (hier P) sind Ausgangspkt von Elementarwellen, die am Detektor D interferieren. Verzerrung der Elektronen durch Streudichte verteilt $\rho(\vec{r})$ charakterisiert.

Von Detektor gemessene Reflexe $\propto I \sim |E|^2$ (E = elekt. Feld)

Elektrisches Feld $E_r(\vec{r}, t)$ am Pkt P:

$$E_r(\vec{r}, t) = E_0 e^{i(k_0(\vec{r} - \vec{R}) - i\omega t)}$$

Feld der gestrahlten Kugelwelle in \vec{R}' (Detektor):

$$E_s = E_r(\vec{r}, t) \cdot S(\vec{r}) \frac{e^{i(k_0(R' - r) - i\omega t)}}{|R' - r|}$$

(gilt nur für Einfachstrahl $\hat{\Leftrightarrow}$ Born'schen Näherg.)

Für große Entfernung des Detektors zum Strahlzentrums P_1
kann die gestreute Welle wiederum als ebene Welle betrachtet
werden; $\vec{E}_s = \frac{e}{iR'} e^{i(\vec{k} - \vec{k}_0)\vec{r}}$

$$\vec{E}_s(\vec{R}', t) = E_s(r, t) \frac{e}{iR'} e^{i(\vec{k} - \vec{k}_0)\vec{r}}$$

wobei für alle Strahlzentrums P im Probenkörper der
Schwachheit k nahezu zw. konstant bleibt.

$$E_s(\vec{R}', t) = \frac{E_0}{iR'} e^{i(\vec{k} - \vec{k}_0)\vec{r}} e^{i(\vec{k}_0 - \vec{k})\vec{r}}$$

konstanter Faktor

Integriert man über alle Streuvolumina erhält man:

$$E_s^{\text{tot}}(\vec{R}', t) \sim e^{i(\vec{k} - \vec{k}_0)\vec{r}} \int_{\text{Vol.}} S(r) e^{i(\vec{k}_0 - \vec{k})\vec{r}} dr$$

Fourier-Tr., d.h. Streudichteverteilung
bezgl. $\vec{R} = \vec{k} - \vec{k}_0$ Impulsübertrag

$$\text{Gesamte Intensität } I_s(\vec{R}) \sim |E_s|^2 \sim \left| \int S(r) e^{-i(\vec{R} - \vec{k}_0)\vec{r}} dr \right|^2$$

$$\vec{R} = \text{Streuvektor} = \vec{k} - \vec{k}_0$$

Da die Streuintensität keine Phaseninformationen mehr
enthalt ist eine Rücktransformation nicht möglich.

Stattdessen wird $I_s(\vec{R})$ mit Beugungsmuster
verdurch einen Kristallstruktur verglichen ...

d.) Strukturdichtenverteilung für periodische Strukturen

(i) 1-dim Gitter: $\textcircled{0} \cdots \textcircled{0} \overset{a}{\overbrace{\cdots}} \textcircled{0} \cdots \textcircled{0}$

$$\rho(x) = \rho(x+n\alpha) \quad \text{mit } n=0, \pm 1, \pm 2, \dots$$

$\rho(x)$ lässt sich als Fourier-Reihe darstellen:

$$\rho(x) = \sum_{n=-\infty}^{+\infty} g_n e^{i(n \cdot \frac{2\pi}{\alpha} x)}$$

(ist invariant unter der Translation $x_m = m\alpha$)

Damit $\rho(x)$ null ist muss: $g_{-n}^* = g_n$

(ii) 3-dim Gitter:

$$\rho(\vec{r}) = \rho(\vec{r} + \vec{R}) \quad \text{mit } \vec{R} = n_1 \vec{a}_1 + n_2 \vec{a}_2 + n_3 \vec{a}_3$$

$$\rho(\vec{r}) = \sum_{h,k,l} g_{hke} e^{i \vec{G}_{hke} \cdot \vec{r}}$$

$$\boxed{\vec{G}_{hke} \cdot \vec{R} = 2\pi \cdot m} \quad \text{aufgrund der Periodizität.}$$

Die Vektoren \vec{G}_{hke} lassen sich allg. mit Basis $\vec{b}_1, \vec{b}_2, \vec{b}_3$ darstellen:

$$\vec{G}_{hke} = h \vec{b}_1 + k \vec{b}_2 + l \vec{b}_3$$

Du bi legen nun, i. a. schiefwinkeliges Koord Syst. fest.
 Jeder Vektor \vec{G}_{hke} präsentiert Punkt eines Gitters
 das als reziproker Gitter bezeichnet wird.

e) Reziproker Gitter:

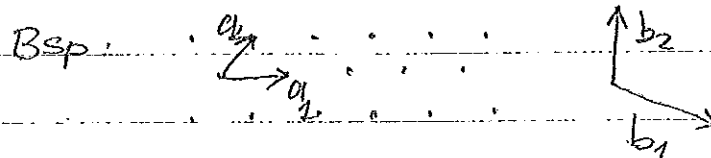
Wegen $\vec{G}_{hk\ell} \cdot \vec{R} = 2\pi \cdot m$ findet man für die \vec{b}_i :

$$\vec{b}_i \cdot \vec{a}_j = 2\pi \delta_{ij} \text{ d.h. } b_i + a_j$$

damit ergibt sich dann für die \vec{b}_i :

$$\vec{b}_1 = \frac{2\pi}{V_{EZ}} \cdot (\vec{a}_2 \times \vec{a}_3) \quad \vec{b}_3 = \frac{2\pi}{V_{EZ}} \cdot (\vec{a}_1 \times \vec{a}_2)$$

$$\vec{b}_2 = \left(\frac{2\pi}{V_{EZ}} \right) \cdot (\vec{a}_3 \times \vec{a}_1) \quad \text{mit } V_{EZ} = (\vec{a}_1 \times \vec{a}_2) \vec{a}_3 \\ = \text{Vol. der EZ.}$$



s. a. Fig. 2.15

Für kubisches Gitter:

$$|\vec{a}_i| = a \quad V_{EZ} = a^3$$

$$\rightarrow \text{Reziproker Gitter: } |\vec{b}_i| = \frac{2\pi}{a}$$

$$|\vec{G}_{hkl}| = \frac{2\pi}{a} \cdot \sqrt{h^2 + k^2 + l^2}$$

$$\text{mit } d_{hkl} = \frac{a}{\sqrt{h^2 + k^2 + l^2}} \quad \Rightarrow \quad \frac{2\pi}{d_{hkl}}$$

Interpretation:

- Vektoren des reziproken Gitters sind Wellenvektoren, die ebene Wellen mit Periodizität des 3D Gitters beschreiben.
- Reziproker Gittervektor \vec{G}_{hkl} auf Netzebene ($h k l$)

$$|\vec{G}_{hkl}| = \frac{2\pi}{d_{hkl}} \quad \text{Abstand der Netzebene}$$

\Rightarrow G_{hkl} repräsentiert Netzebungschaar.